

ЭЛЕКТРОТЕХНИКА И ЭЛЕКТРОНИКА

Рабочая тетрадь

Преподаватель Васильева

Факультет ЦиТХИН

Студент Мохов М.Г.

Группа КС-34 Вариант 11

Зачёт _____

«__» _____ 2024г.

Лабораторно-практическое занятие №1

ЛИНЕЙНАЯ ЭЛЕКТРИЧЕСКАЯ ЦЕПЬ ПОСТОЯННОГО ТОКА

Цель работы:

Исследовать цепи постоянного тока.

1. Рассчитать цепь при заданных параметрах.
2. Исследовать цепь при заданных параметрах.
3. сравнить результаты расчёта и исследования цепи.
4. Записать выводы по результатам.

Ход работы:

1. Рассчитать цепь. рис. 1

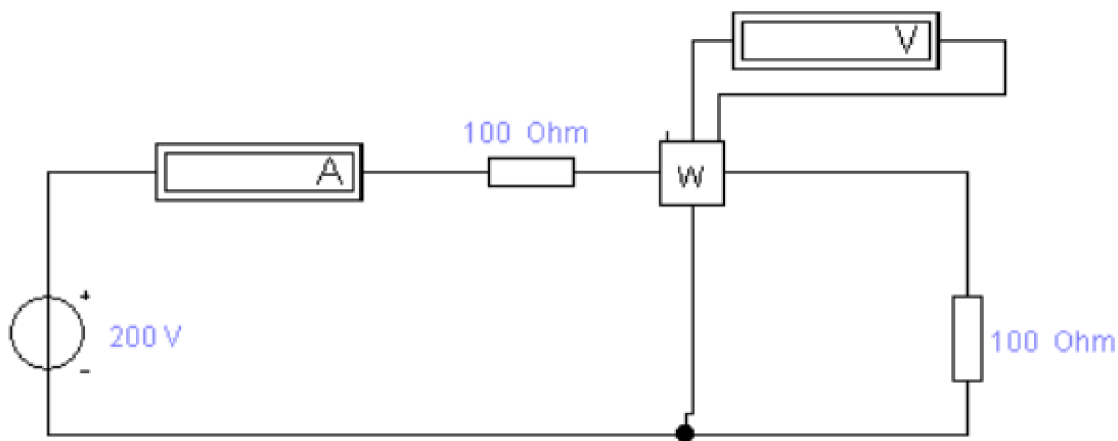


рис. 1: Расчётная цепь.

2. Заполнить таблицу.

Параметры цепи	0	100	310	610	710	910
Ток, I , [A]	2	1	0.49	0.33	0.25	0.2
Мощность источника, $P_{\text{ист}} = E \cdot I$ [Вт]	400	200	98	66	50	40
Мощность нагрузки, $P_{\text{наг}} = I^2 \cdot R$ [Вт]	0	100	74.431	55.539	44.375	36.4
К.П.Д. цепи, $\eta = \left(\frac{P_{\text{наг}}}{P_{\text{ист}}} \right) \cdot 100\%$	0	0.5	0.7595	0.8415	0.8875	0.91

табл. 1: Расчётная таблица

3. Графики.

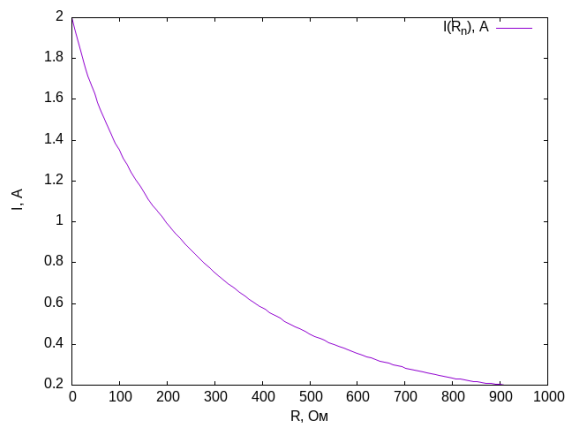


рис. 2: График силы тока от напряжения резистора.

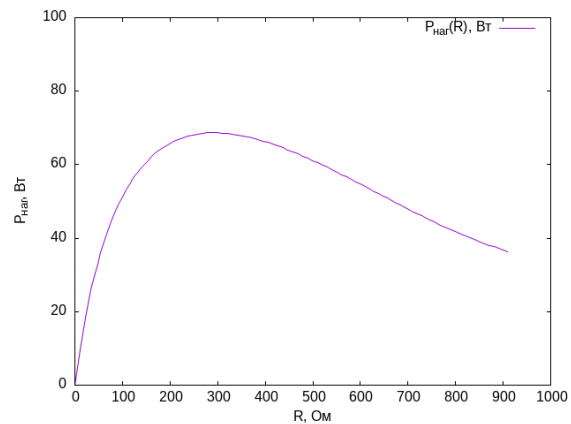


рис. 4: График мощности нагрузки от напряжения резистора.

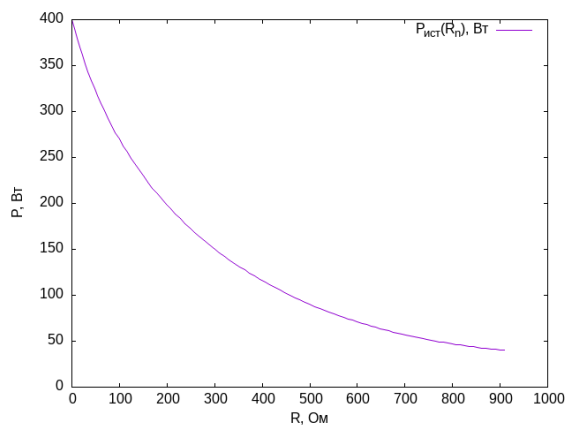


рис. 3: График мощности источника от напряжения резистора.

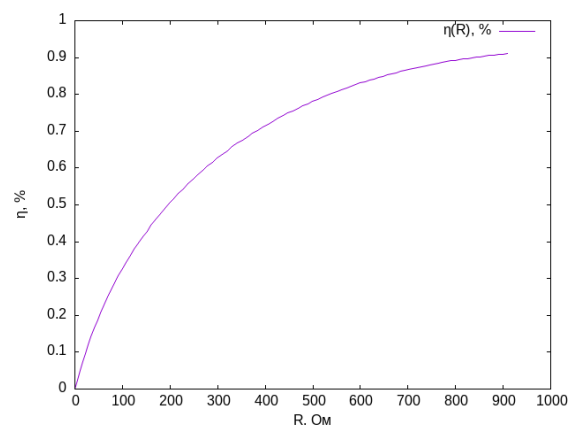


рис. 5: График К.П.Д. от напряжения.

Вывод

В ходе лабораторной работы я рассчитал цепь рис. 1 при различных значениях напряжения в соответствии с заданными параметрами. При увеличении сопротивления резистора мощность источника уменьшается. Так же при увеличении сопротивления наблюдается уменьшение мощности нагрузки и сила тока. В свою очередь К.П.Д. возрастает по мере увеличения сопротивления.

РЕАКТИВНЫЕ ЭЛЕМЕНТЫ ЦЕПИ СИНУСОИДАЛЬНОГО ТОКА

Цели.

1. Рассчитать и построить зависимость сопротивления катушки и конденсатора от частоты питания.
2. Снять экспериментально и построить зависимость реактивного сопротивления катушки от частоты источника питания.
3. Сравнить рассчитанные и полученные результаты.
4. Записать вывод по результатам.

Ход решения.

1. Цепь.

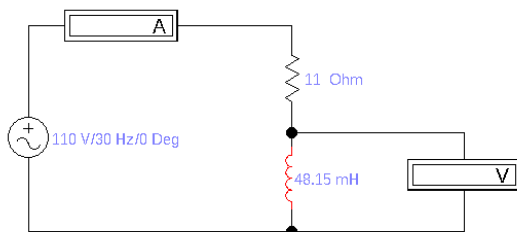


рис. 6: Схема с катушкой.

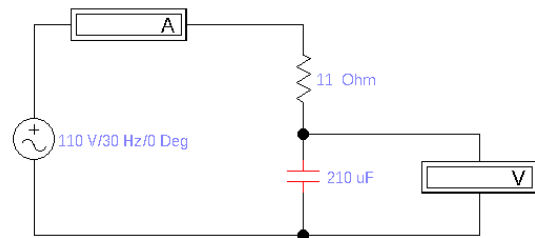


рис. 7: Схема с конденсатором.

2. Рассчётные и экспериментальные значения.

Элементы и параметры цепи			Частота, Гц									
Катушка	Расч	$X_L, [\text{Ом}]$	30	40	50	60	70	80	90	100	110	120
	Эксп	$U_L, [\text{В}]$	9.07	12.1	15.12	18.14	21.17	24.19	27.21	30.24	33.26	36.29
		$I_L, [\text{А}]$	70.53	81.88	89.34	94.4	97.89	100.4	102.2	103.5	104.6	105.4
		$X_L = \frac{U_L}{I_L}, [\text{Ом}]$	7.67	6.68	5.83	5.13	4.56	4.09	3.7	3.38	3.1	2.87
Конденсатор	Расч	$X_C, [\text{Ом}]$	9.2	12.26	15.32	18.39	21.45	24.52	27.59	30.63	33.73	36.79
	Эксп	$U_C, [\text{В}]$	25.28	18.96	15.17	12.64	10.83	9.48	8.43	7.58	6.89	6.32
		$I_C, [\text{А}]$	100.7	94.82	88.64	82.48	76.64	71.23	66.31	61.87	57.84	54
		$X_C = \frac{U_C}{I_C}, [\text{Ом}]$	4.04	5.07	5.92	6.61	7.17	7.62	7.98	8.27	8.5	8.7

табл. 2: Результаты вычисления расчётных и экспериментальных значений.

3. Графики

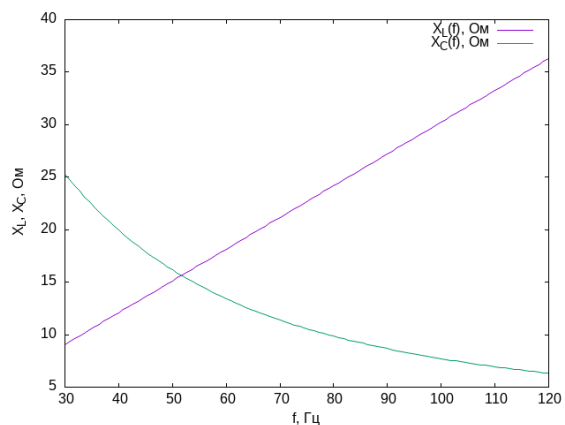


рис. 8: Графики расчётных данных.

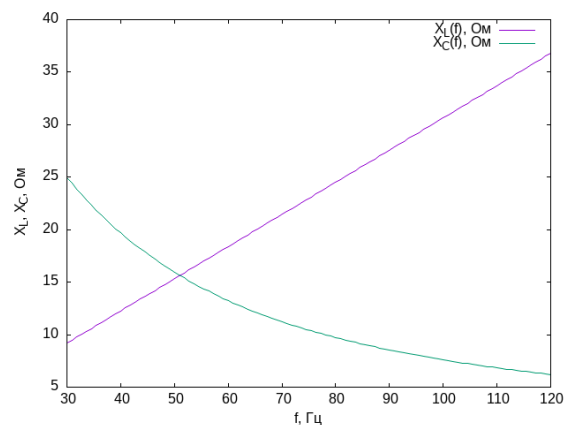


рис. 9: Графики экспериментальных данных.

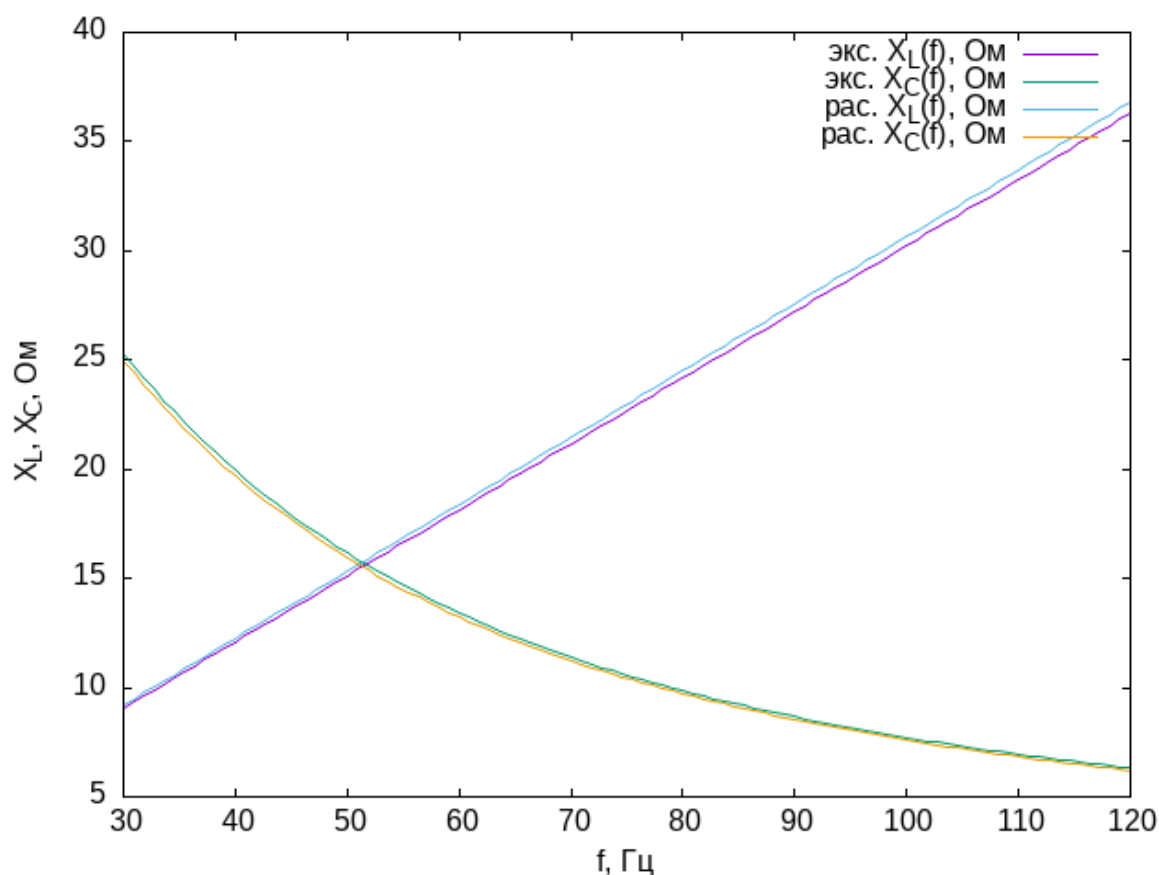


рис. 10: Сравнение графиков расчётных и экспериментальных данных.

Из графиков видно, что данные расчётные данные совпадают с экспериментальными в пределах допустимой погрешности.

Вывод

В ходе лабораторной работы я рассчитал цепи рис. 6 и рис. 7 при заданных частотах источника. В результате сопротивление конденсатора обратно пропорционально частоте, а сопротивление катушки прямо пропорционально частоте. В результате графики экспериментальных данных достаточно точно совпали с графиками расчётных данных.

Графики сопротивления катушки и конденсатора пересекаются в точке ~ 50 Гц. В этой точке происходит резонанс сопротивлений ($X_L = X_C$). Таким образом точка резонанса находится около 50 Гц.

Лабораторно-практическое занятие №3

РЕЗОНАНСЫ В ЦЕПИ СИНУСОИДАЛЬНОГО ТОКА

Цель

- Собрать цепь для наблюдения резонанса напряжения.
- Рассчитать параметры цепи, в которой наблюдается резонанс напряжения.
- Собрать цепь для наблюдения резонанса токов.
- Рассчитать параметры цепи, в которой наблюдается резонанс токов.

Ход решения.

№1 резонанс напряжения.

1. Цепь.

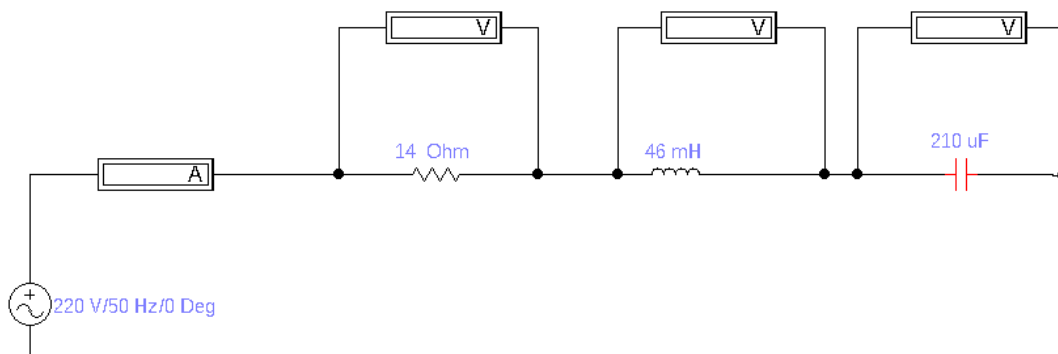


рис. 11: Цепь для наблюдения резонанса напряжения.

2. Экспериментальные значения.

$C, [\text{мкФ}]$	$I, [\text{A}]$	$U_R, [\text{В}]$	$U_L, [\text{В}]$	$U_C, [\text{В}]$
170	15.2	212.1	221.9	280.1
180	15.4	215.6	225.5	268.9
190	15.6	218	228	257.5
200	15.7	219.3	229.4	246.2
210	15.7	219.9	230	235.1
220	15.7	219.9	230	224.4
230	15.7	219.4	229.5	214.1
240	15.6	218.6	228.7	204.5
250	15.5	217.6	227.6	195.4

рис. 12: Таблица экспериментальных значений.

3. Расчётные данные. Значения были рассчитаны по формулам:

$$R = \frac{U_R}{I}; X_L = \frac{U_L}{I}; X_C = \frac{U_C}{I}; X = X_L - X_C; Z = \frac{U}{I}$$

$$P = R * I^2; Q = X * I^2; S = U * I \varphi = \arctan\left(\frac{X}{R}\right)$$

C	I	U_R	U_L	U_C	R	X_L	X_C	Z	X	P	Q	S	φ
170	15.2	212.1	221.9	280.1	14	14.6	18.5	14.5	-3.8	3213.3	-881.7	3333	-0.3
180	15.4	215.6	225.5	268.9	14	14.6	17.5	14.3	-2.8	3320.2	-668.4	3388	-0.2
190	15.6	218	228	257.5	14	14.6	16.5	14.1	-1.9	3394.3	-459.3	3425.4	-0.1
200	15.7	219.3	229.4	246.2	14	14.6	15.7	14	-1.1	3436.4	-263.3	3447.4	-0.1
210	15.7	219.9	230	235.1	14	14.6	15	14	-0.3	3454.6	-80.1	3456.2	0
220	15.7	219.9	230	224.4	14	14.6	14.3	14	0.4	3454.6	88	3456.2	0
230	15.7	219.4	229.5	214.1	14	14.6	13.7	14	1	3438	241.3	3447.4	0.1
240	15.6	218.6	228.7	204.5	14	14.6	13.1	14.1	1.5	3414.5	378	3436.4	0.1
250	15.5	217.6	227.6	195.4	14	14.6	12.6	14.2	2.1	3381.5	500.4	3418.8	0.1

рис. 13: Таблица расчётных значений.

4. Графики экспериментальных данных.

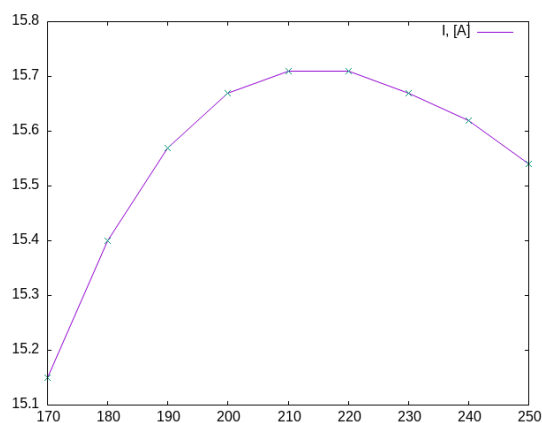


рис. 14: График Силы Тока. $I(C)$, [A]

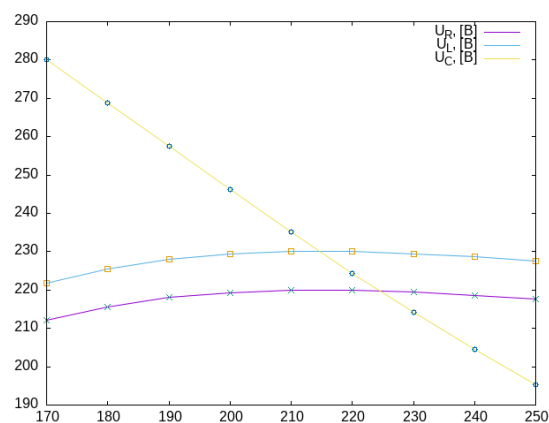


рис. 15: График напряжений. $U_R(C)$, [В], $U_L(C)$, [В], $U_C(C)$, [В]

5. Графики расчётных данных.

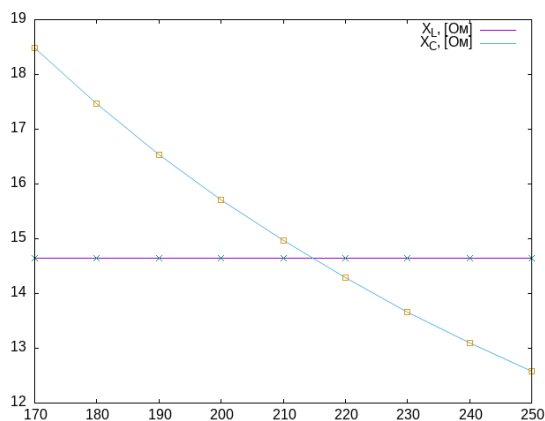


рис. 16: Графики сопротивлений. $R(C)$, [Ом], $X_L(C)$, [Ом], $X_C(C)$, [Ом]

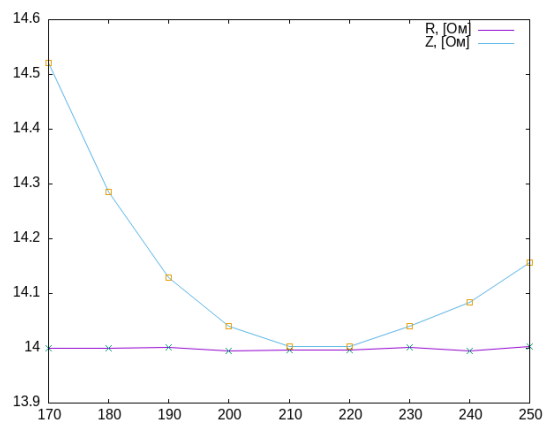


рис. 17: Графики сопротивлений. $R(C)$, [Ом], $Z(C)$, [Ом]

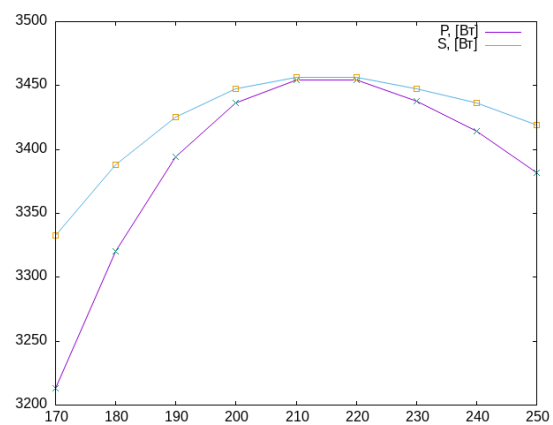


рис. 18: Графики мощностей. $P(C)$, [Вт],
 $S(C)$, [Вт]

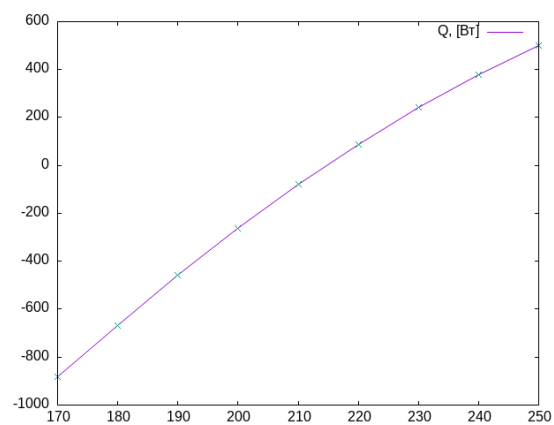


рис. 19: График мощности. $Q(C)$ [Вт]

№2 резонанс токов.

Вывод